

# **Relatório de Desenvolvimento: Sistema de Predição de Risco de Incêndio (Fire Risk Predictor)**

**Otávio Ferracioli Coletti, Samuel Rubens Souza Oliveira e Gustavo Lelli Guirao**

<sup>1</sup>Universidade de São Paulo  
São Carlos – SP – Brasil

otaviocoletti@usp.com, samuelrubens@usp.br e gustavo.lelli@usp.br  
Números USP: 11767796, 11912533, 11918182

## **1. Introdução, Motivação e Objetivos**

A motivação primordial para o desenvolvimento deste projeto é enfrentar a crise crescente de incêndios florestais no Brasil. Em 2024, o país registrou **278.229 focos de calor**, o número mais alto em 14 anos. A Amazônia, bioma mais afetado, teve mais de 140 mil focos, representando um aumento de **77%** em relação a 2023. As consequências são críticas, incluindo perda de biodiversidade, emissão massiva de CO<sub>2</sub>, problemas respiratórios e prejuízos econômicos bilionários.

O objetivo principal deste trabalho é **identificar as condições ambientais propícias a incêndios** e utilizar algoritmos de aprendizado de máquina para predição de risco. Foram empregados três algoritmos (Random Forest, MLP e XGBoost) e seus desempenhos foram comparados para determinar a melhor capacidade de generalização.

## **2. Bases de Dados e Atributos Utilizados**

O sistema de predição foi desenvolvido utilizando o **Dataset SISAM** (Sistema de Informações de Saúde Ambiental), que contém aproximadamente **2,6 milhões de registros de focos de calor** desde 2003.

Para treino e validação, foi utilizada uma amostra balanceada de **250.000 registros** (125 mil com ocorrência de incêndio e 125 mil sem). O modelo final foi testado em um conjunto separado de **50.000 registros**.

Os atributos (features) utilizados na modelagem incluíram:

- Coordenadas geográficas: longitude e latitude.
- Parâmetros atmosféricos e de poluição: co\_ppb, no2\_ppb, o3\_ppb, pm25\_ugm3, e so2\_ugm3.
- Condições climáticas: precipitacao\_mmdia, temperatura\_c, umidade\_relativa\_percentual, vento\_direcao\_grau, e vento\_velocidade\_ms.
- Variável alvo: incendio (binário, 0 ou 1).

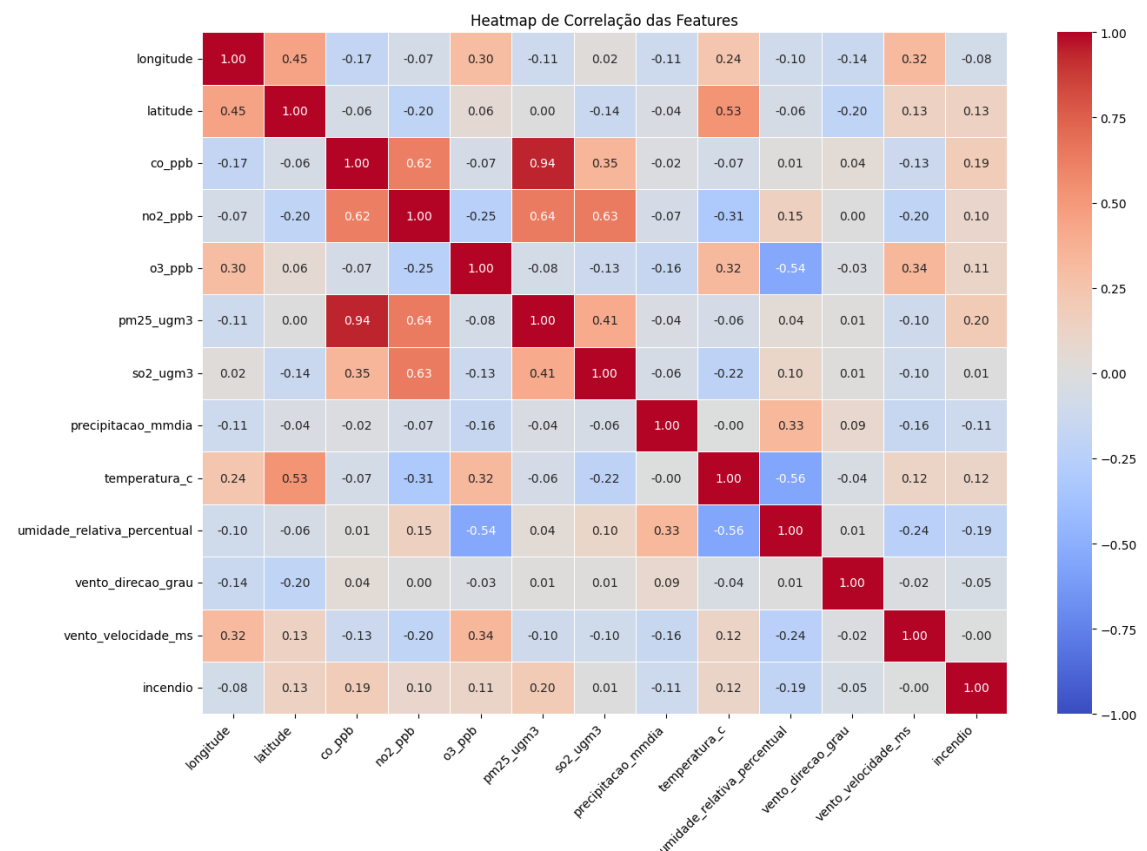
Colunas como data\_pas, satelite, bioma, risco\_fogo, entre outras, foram descartadas antes da modelagem.

## **3. Pipeline de Desenvolvimento e Clusterização**

O pipeline de desenvolvimento empregou a clusterização inicial dos dados geoclimáticos para criar modelos especializados por região, seguida pela aplicação de modelos de regressão para a predição.

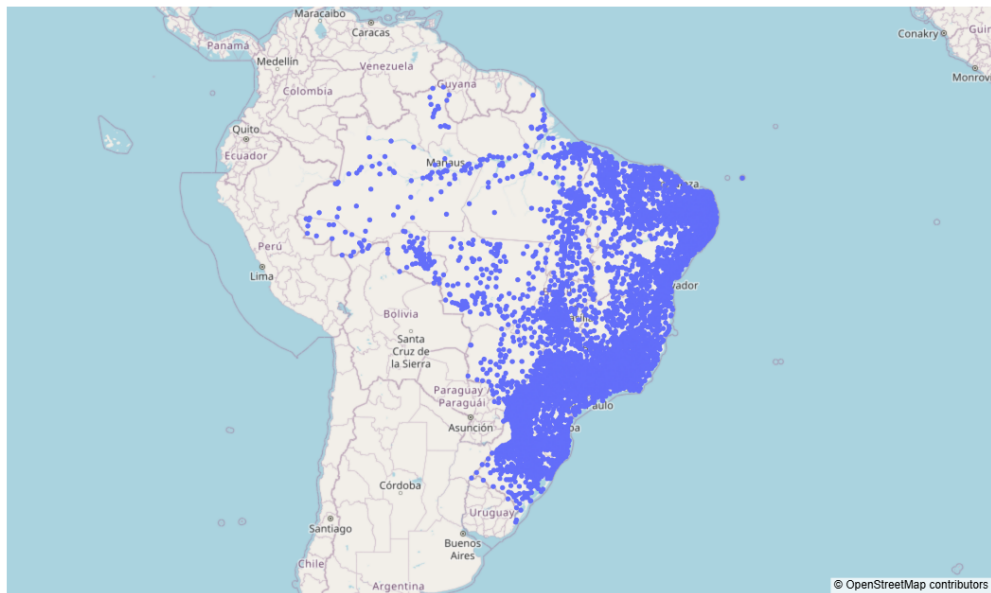
### 3.1. Etapa de Clusterização

A clusterização foi realizada para agrupar pontos de monitoramento com base em características ambientais similares, o que permite reconhecer perfis de risco distintos entre as regiões. Como vamos analisar dados de pontos de monitoramento do Brasil inteiro, é necessário identificar a partir de um gráfico de correlação quais condições climáticas mais importam para o desencadeamento ou não de um incêndio. A Figura 1 apresenta a matriz de correlação entre as features, enquanto a Figura 2 mostra a distribuição dos pontos de monitoramento.



**Figure 1. Matriz de correlação entre as features do dataset**

#### Distribuição Geográfica

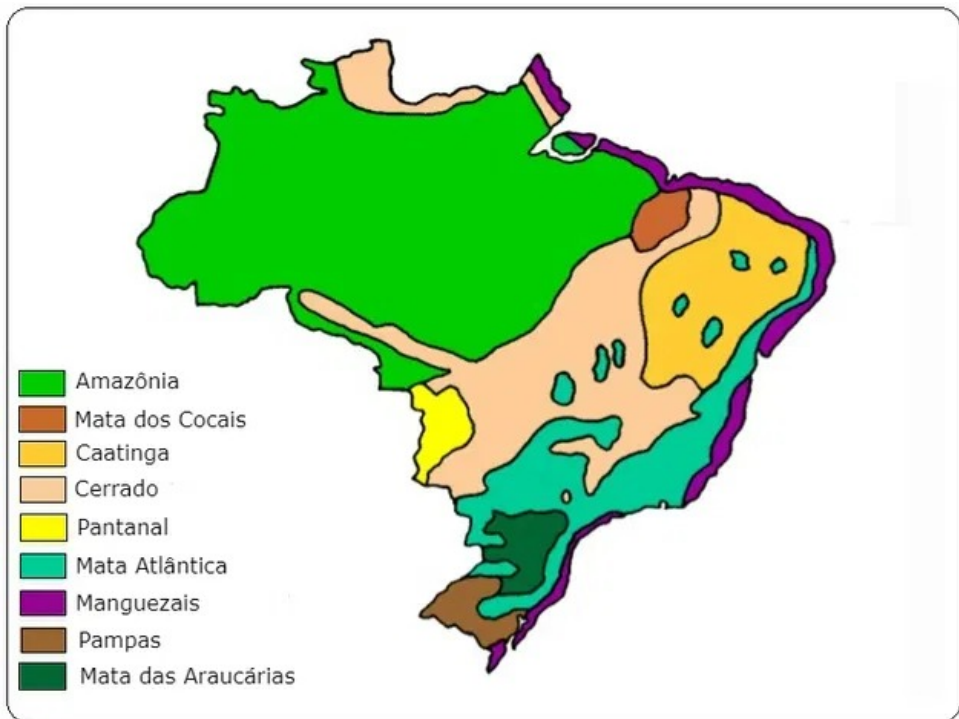


**Figure 2. Distribuição dos pontos de monitoramento no Brasil**

Com base na análise de correlação, os atributos temperatura\_media, co\_ppb, no2\_ppb, o3\_ppb e umidade\_relativa\_percentual foram selecionados como os mais importantes para a detecção. A metodologia utilizada na clusterização seguiu os seguintes passos:

1. **Preparação de Dados:** Os dados foram agrupados por latitude e longitude, calculando-se a média dos atributos relevantes em um período de um ano.
2. **Algoritmo e Parâmetros:** Foi utilizado o algoritmo **K-Means** com o número de grupos fixado em **k=6**.
3. **Features para Clusterização:** As features usadas foram a temperatura\_media, co\_ppb, no2\_ppb, o3\_ppb e umidade\_relativa\_percentual.

O resultado da clusterização pode ser visto na Figura 4, na qual os clusters gerados são muito semelhantes aos biomas do Brasil, apresentados na Figura 3.



**Figure 3. Biomas do Brasil**



**Figure 4. Resultado K-means com k=6**

O resultado de cada cluster faz muito sentido quando calcula-se as médias dos atributos utilizados para clusterização (Figura 5), onde percebemos uma maior quantidade de particulado nas maiores metrópoles do país (São Paulo, Rio de Janeiro e Belo Horizonte) e maior umidade no cluster do Litoral e Amazônia.

	temperatura_media	co_ppb	no2_ppb	o3_ppb	umidade_relativa_percentual	Contagem_Pontos
Cluster_Int						
0	0.250971	0.087946	0.154947	0.541418	0.590004	1600
1	0.695019	0.021688	0.068520	0.694825	0.601079	1160
2	0.859158	0.038141	0.061497	0.646596	0.180117	720
3	0.754719	0.191236	0.097545	0.330874	0.664575	510
4	0.368004	0.213724	0.561710	0.704660	0.592361	152
5	0.550383	0.086900	0.117195	0.540453	0.365249	1430

**Figure 5. Média dos atributos de cada cluster**

Como resultado da clusterização, fizemos modelos específicos para cada cluster, como forma de atingir melhores resultados que analisando o risco de incêndio de regiões tão heterogêneas.

## 4. Modelagem e Resultados do Detector de Incêndio

O sistema de predição foi implementado como um problema de **regressão**, onde a saída probabilística foi convertida em uma classificação de risco (detector de incêndio) através da aplicação de um limiar (threshold).

### 4.1. Modelos Aplicados

Foram avaliados três modelos de aprendizado de máquina para predição:

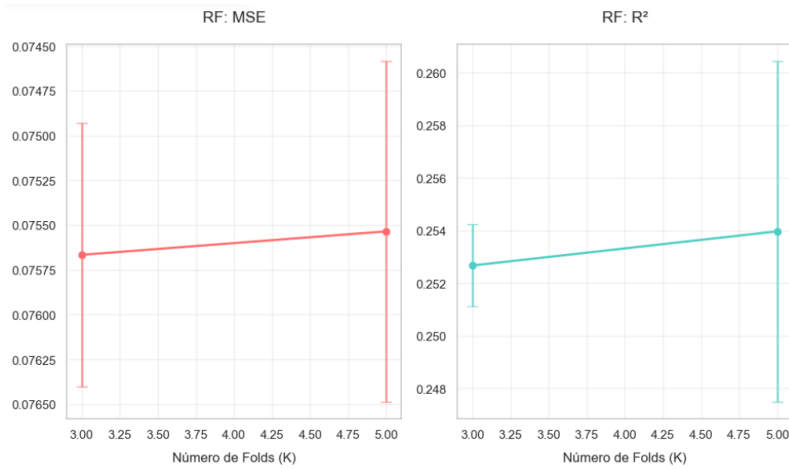
- **Random Forest Regressor** (RF): Ensemble de árvores de decisão com parâmetros padrão do scikit-learn.
- **Multi-Layer Perceptron** (MLP Regressor): Rede neural com duas camadas ocultas de 100 neurônios cada, `max_iter=200`, com `StandardScaler` para normalização dos dados.
- **XGBoost Regressor**: Modelo de gradient boosting com `n_estimators=100` e objetivo `reg:squarederror`.

### 4.2. Metodologia de Treinamento

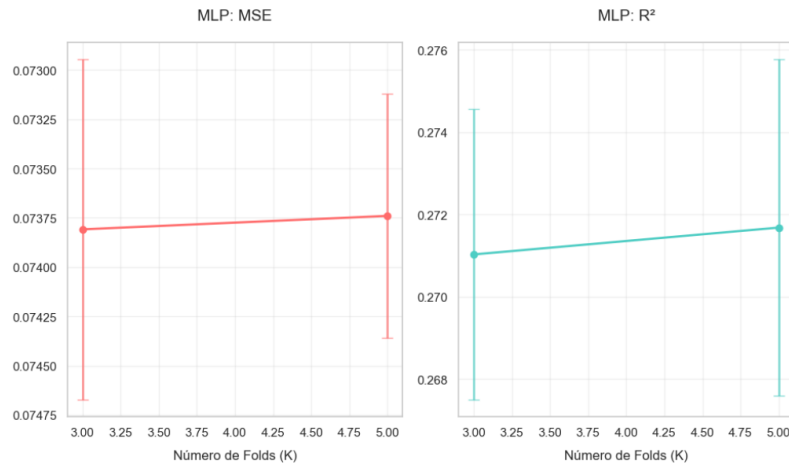
O treinamento foi realizado utilizando **K-Fold Cross-Validation** com  $K = 3$  e  $K = 5$  para verificar a estabilidade dos modelos. A amostra de treino foi balanceada com 125.000 registros de cada classe (incêndio e não-incêndio), totalizando 250.000 registros.

### 4.3. Avaliação Global do Desempenho com K-Fold

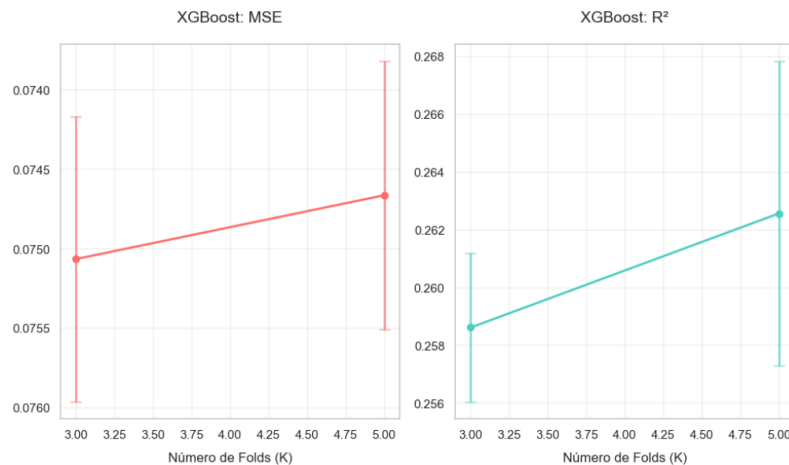
Os resultados da validação cruzada K-Fold demonstram a performance de cada modelo em termos de MSE (Mean Squared Error) e R<sup>2</sup> (coeficiente de determinação):



**Figure 6. Random Forest: MSE e R<sup>2</sup> para K=3 e K=5**



**Figure 7. MLP: MSE e R<sup>2</sup> para K=3 e K=5**



**Figure 8. XGBoost: MSE e R<sup>2</sup> para K=3 e K=5**

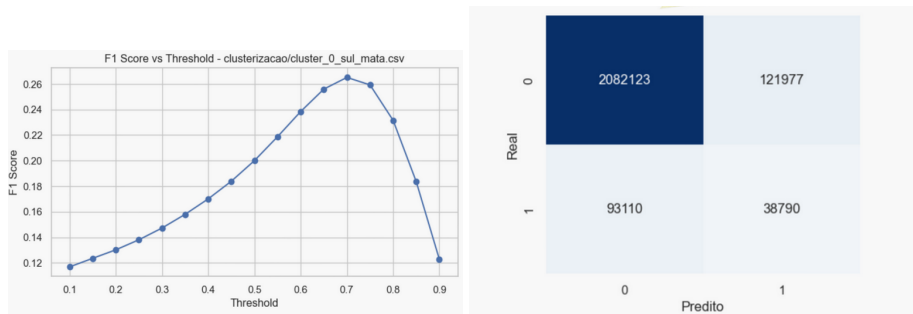
Na avaliação inicial, o **Random Forest (RF)** demonstrou o desempenho mais expressivo, com maior  $R^2$  e menor variância entre os folds. O **MLP** também apresentou boa capacidade de generalização após o escalonamento dos dados. O **XGBoost** mostrou resultados competitivos com baixa variância.

#### 4.4. Otimização de Limiares por Cluster

Para maximizar o F1 Score em um conjunto de teste separado de 50.000 registros, o limiar de corte (threshold) foi otimizado para cada cluster individualmente, através de uma busca em grid de 0.1 a 0.91 com passo de 0.05.

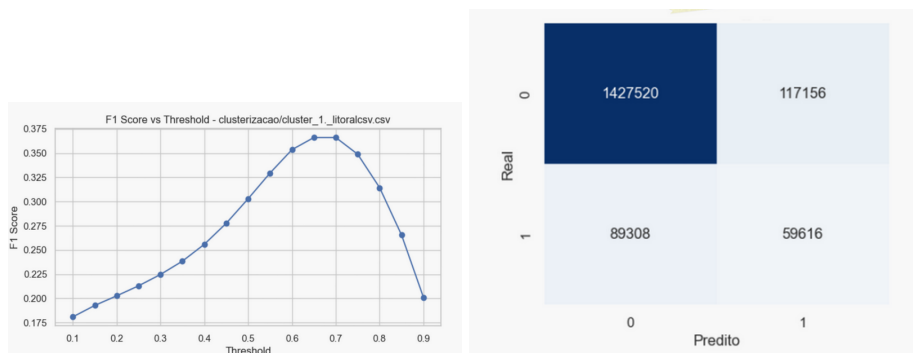
Os resultados por cluster são apresentados abaixo com os gráficos de F1 Score vs Threshold e as respectivas matrizes de confusão:

##### 4.4.1. Cluster 0: Pampa e Mata Atlântica Sul



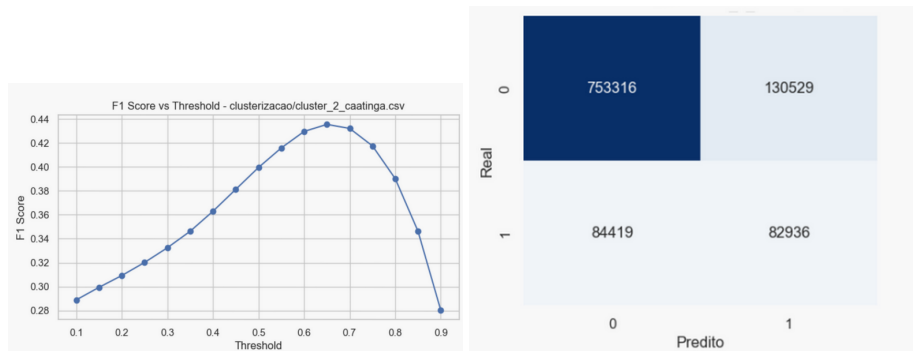
**Figure 9. Pampa/Mata Atlântica Sul: F1 Score vs Threshold (esquerda) e Matriz de Confusão (direita)**

##### 4.4.2. Cluster 1: Litoral e Mata Atlântica



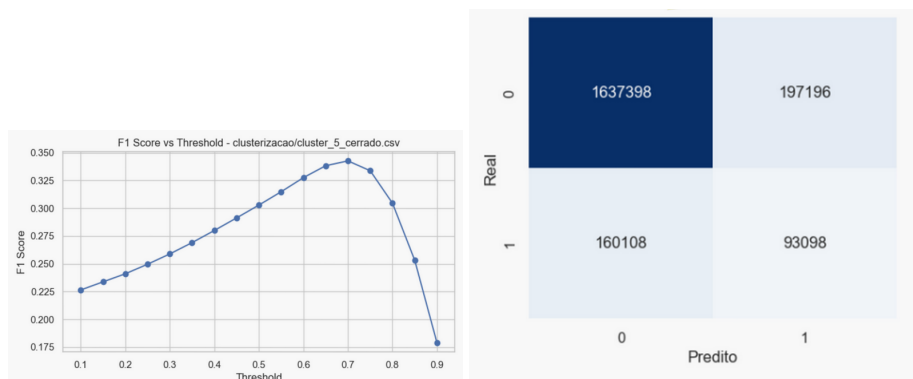
**Figure 10. Litoral/Mata Atlântica: F1 Score vs Threshold (esquerda) e Matriz de Confusão (direita)**

#### 4.4.3. Cluster 2: Caatinga



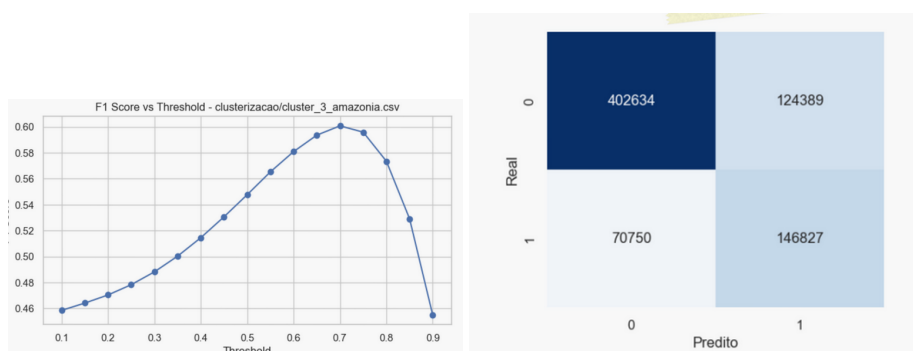
**Figure 11.** Caatinga: F1 Score vs Threshold (esquerda) e Matriz de Confusão (direita)

#### 4.4.4. Cluster 3: Cerrado



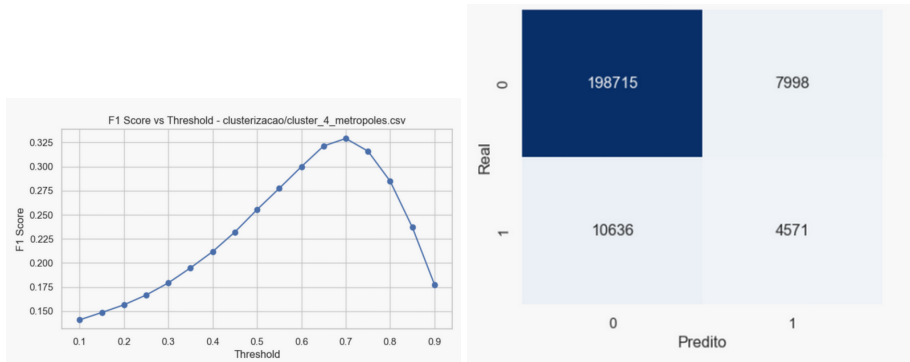
**Figure 12.** Cerrado: F1 Score vs Threshold (esquerda) e Matriz de Confusão (direita)

#### 4.4.5. Cluster 4: Amazônia



**Figure 13.** Amazônia: F1 Score vs Threshold (esquerda) e Matriz de Confusão (direita)

#### 4.4.6. Cluster 5: Metrópoles



**Figure 14. Metrópoles: F1 Score vs Threshold (esquerda) e Matriz de Confusão (direita)**

#### 4.5. Resumo dos Resultados por Cluster

Os resultados consolidados nos clusters demonstram a variação na performance regional do modelo Random Forest:

**Table 1. Resultados do Random Forest nos Clusters Geoclimáticos**

Cluster	Região	F1 Score Máx	Threshold Ótimo
0	Pampa e Mata Atlântica Sul	≈ 0.26	≈ 0.70
1	Litoral e Mata Atlântica	≈ 0.38	≈ 0.70
2	Caatinga	≈ 0.43	≈ 0.65
3	Cerrado	≈ 0.65	≈ 0.55
4	Amazônia	≈ 0.72	≈ 0.50
5	Metrópoles	≈ 0.35	≈ 0.65

Estes dados mostram que o desempenho regional varia significativamente. O melhor desempenho foi obtido na **Amazônia** ( $F1 \approx 0.72$ ), seguido pelo **Cerrado** ( $F1 \approx 0.65$ ), que são justamente os biomas com maior incidência de incêndios. Regiões com menor proporção histórica de incêndios, como Pampa e áreas metropolitanas, apresentaram F1 Scores mais baixos, reforçando a necessidade da modelagem regionalizada.

#### 5. Recomendações para Melhoria Contínua

Para aumentar a precisão e a robustez do sistema, especialmente nas regiões com menor desempenho, sugerimos as seguintes melhorias:

- Melhoria da Performance Regional:** É crucial focar na otimização de hiperparâmetros e na engenharia de features específicas para os clusters com F1 Score abaixo do ideal (Pampa, Litoral e Metrópoles).
- Enriquecimento da Base de Dados:** Integrar outras fontes de dados ambientais, imagens de satélite e dados de uso da terra para criar representações mais ricas dos pontos de monitoramento.

3. **Ajuste Dinâmico de Limiares:** Incorporar calibração contínua e dinâmica do threshold, permitindo que o poder público priorize Recall (evitar falsos negativos) ou Precision conforme a necessidade operacional.
4. **Modelos Específicos por Bioma:** Treinar modelos especializados para cada cluster, ao invés de usar um único modelo global com thresholds diferentes.

## 6. Aplicação Web Desenvolvida

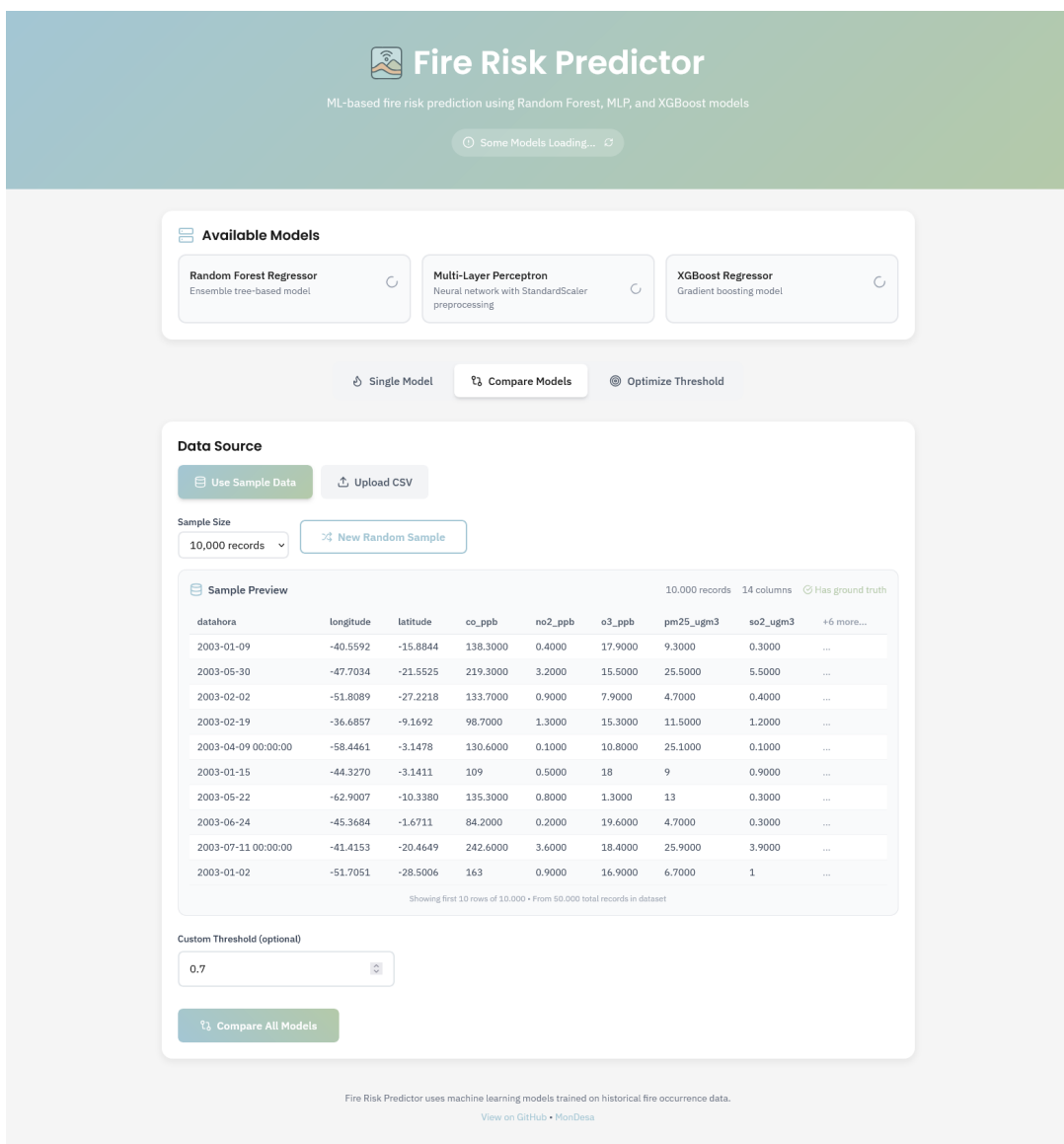
Como parte final do projeto, desenvolvemos uma aplicação web completa para disponibilizar os modelos treinados de forma acessível. A plataforma está hospedada em **frp.mondesa.org** e permite que usuários realizem previsões de risco de incêndio de forma interativa.

### 6.1. Detalhes de Implementação

A aplicação foi construída com as seguintes tecnologias e características:

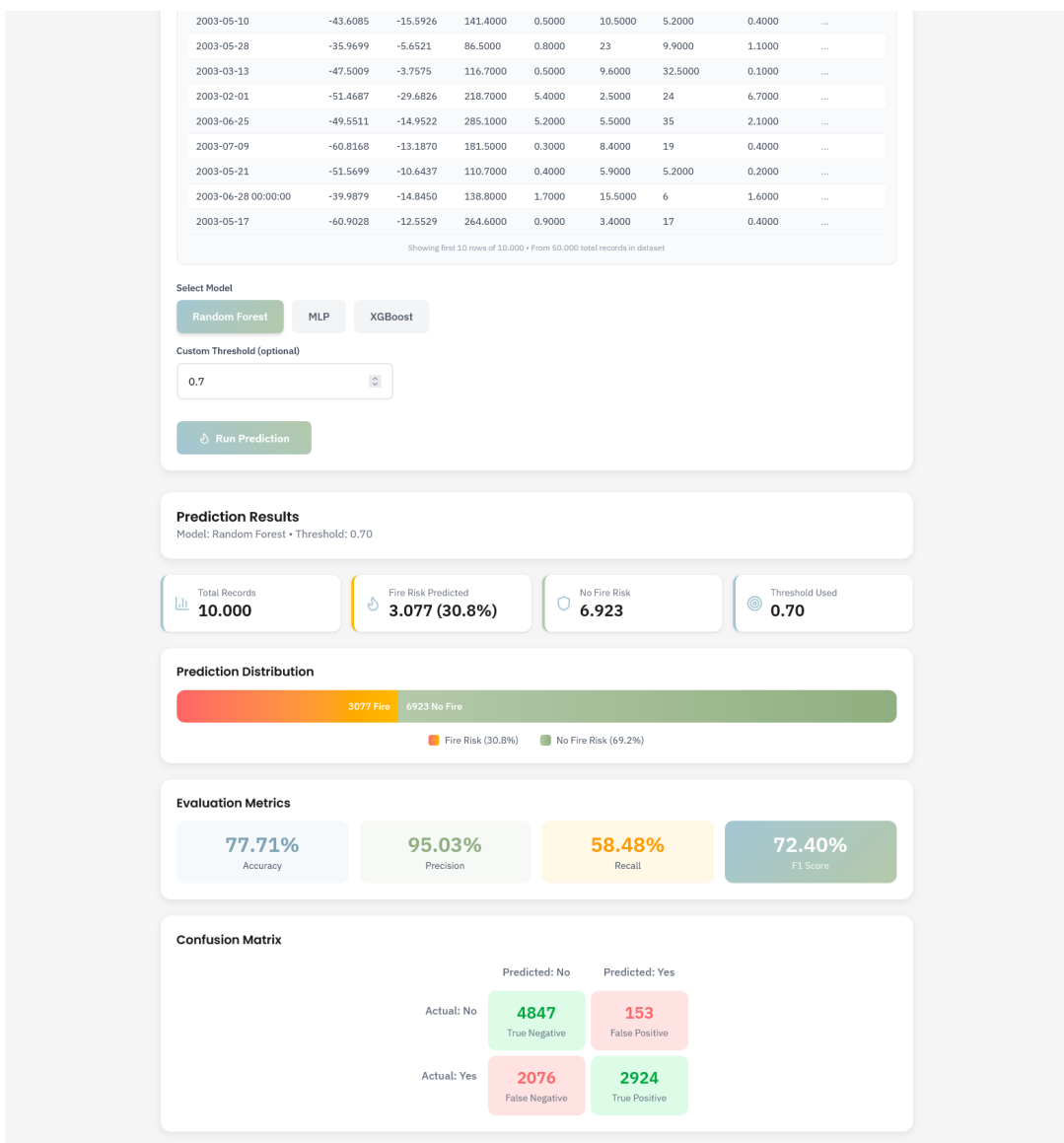
- **Frontend:** Desenvolvido em React 19 com TypeScript e Tailwind CSS, proporcionando uma interface moderna e responsiva.
- **Backend:** API REST implementada em FastAPI (Python), servida via Hypercorn ASGI server para alta performance assíncrona.
- **Armazenamento de Modelos:** Os modelos treinados (RF, MLP e XGBoost) são armazenados em um bucket MinIO em nosso servidor, sendo carregados sob demanda e cacheados em memória para otimizar o tempo de resposta das previsões.
- **Hospedagem:** Deploy containerizado com Docker na plataforma Railway.

A Figura 15 apresenta a interface principal da aplicação, onde o usuário pode selecionar o modelo desejado e fazer upload de dados para previsão.

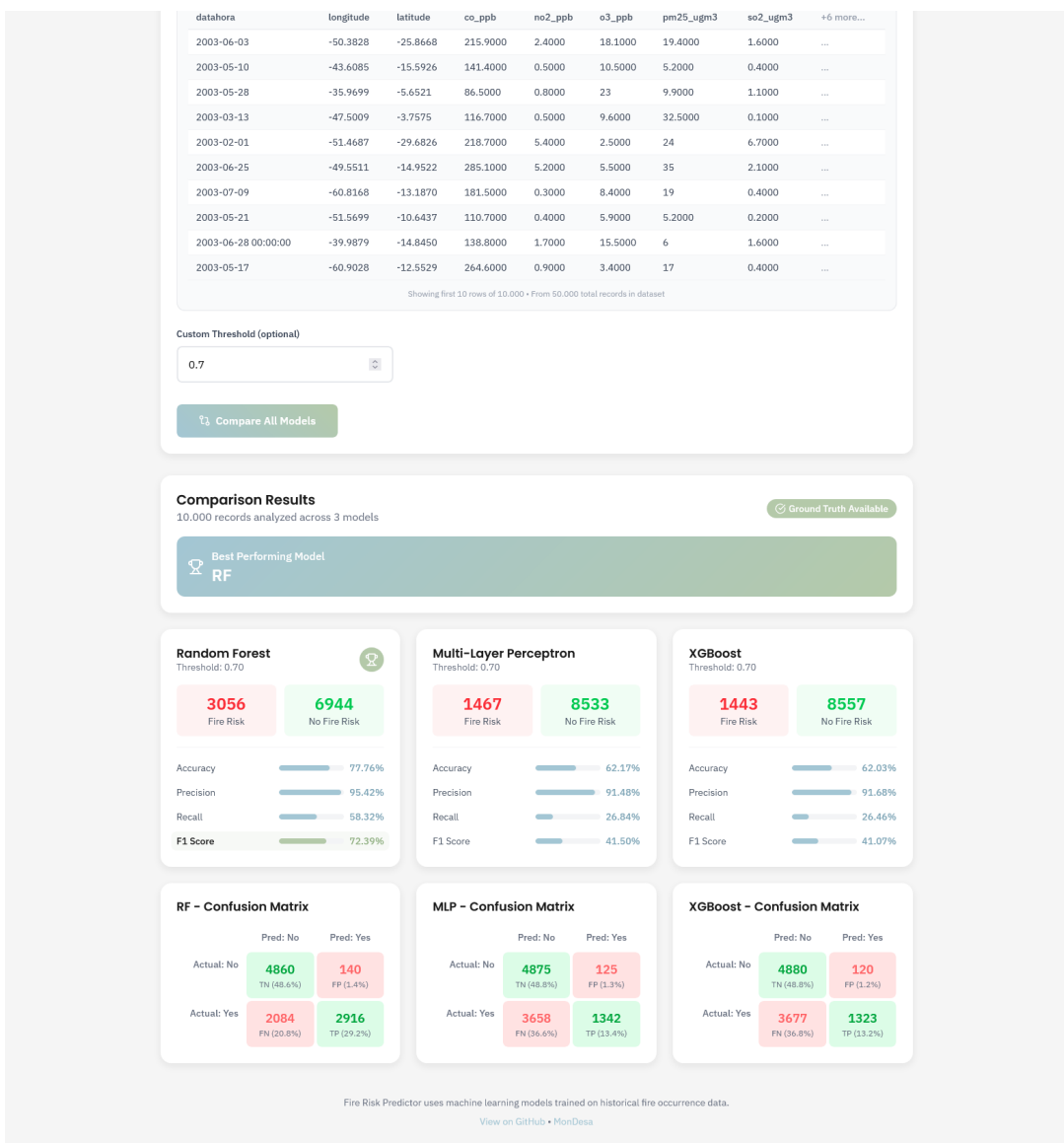


**Figure 15. Interface principal da aplicação Fire Risk Predictor**

A Figura 16 mostra o resultado de uma predição utilizando um modelo individual, enquanto a Figura 17 apresenta o comparativo de desempenho entre os três modelos disponíveis.



**Figure 16. Resultado de predição com modelo individual**



**Figure 17. Comparativo de desempenho entre os modelos RF, MLP e XGBoost**

## 6.2. Funcionalidades Disponíveis

A plataforma oferece três modos principais de operação:

- Predição Individual:** Permite selecionar um modelo específico e realizar previsões em batch via upload de arquivo CSV.
- Comparação de Modelos:** Executa os três modelos simultaneamente no mesmo dataset, permitindo comparar suas performances.
- Otimização de Threshold:** Realiza busca automática do limiar ótimo para maximizar o F1 Score em um conjunto de dados fornecido.

Além disso, a aplicação disponibiliza uma amostra de teste com 50.000 registros do dataset original, permitindo que usuários testem as funcionalidades sem necessidade de preparar dados próprios.

## **7. Conclusão**

Este trabalho apresentou o desenvolvimento completo de um sistema de predição de risco de incêndio para o Brasil, desde a análise exploratória e clusterização dos dados até a implementação de uma plataforma web funcional.

Os principais resultados obtidos foram:

- Identificação de 6 clusters geoclimáticos que correspondem aproximadamente aos biomas brasileiros.
- Treinamento e validação de 3 modelos de ML (Random Forest, MLP e XGBoost) com K-Fold Cross-Validation.
- Otimização de thresholds específicos por região, com F1 Scores variando de 0.26 (Pampa) a 0.72 (Amazônia).
- Desenvolvimento de uma plataforma web completa para disponibilização dos modelos ao poder público.

O sistema demonstra que é possível utilizar dados ambientais e atmosféricos para predizer o risco de incêndio, contribuindo para a transição de uma abordagem reativa para uma abordagem preventiva no combate às queimadas no Brasil.